

• 研究简报 •

质子交换膜用磺化聚芳醚的合成与性能研究

王雷^{*a} 孟跃中^b 高春梅^c 朱光明^a

(^a 深圳市特种功能材料重点实验室 深圳大学材料学院 深圳 518060)

(^b 中山大学理工学院 能源与环境材料研究所 广州 510275)

(^c 中国科学院广州化学所 广州 510650)

摘要 合成了一种用于质子交换膜的新型磺化聚芳醚。由于特殊单体结构的设计,在聚合物主链上引入取代基对主链进行保护,用氯磺酸直接磺化方法在聚芳醚高分子侧基上引入磺酸功能基,实现了聚合物磺化结构的可控定位合成,得到了稳定性较好的磺化聚芳醚。用溶液浇膜法制备了质子交换膜,考察了质子交换膜的各种性能。结果表明,这种膜具有良好的成膜性,水解性稳定性和优异热稳定性,5%的热失重温度为362.3 °C。氧化稳定性在80 °C的Fenton's试剂(3%的过氧化氢和2 mg/L的FeSO₄)中进行,膜在69 min时才开始变碎,表现出良好的氧化稳定性。

关键词 磺化; 磺化聚芳醚; 质子交换膜; 氧化稳定性

Synthesis and Properties of Sulfonated Poly(arylene ether) for Proton Exchange Membrane

WANG, Lei^{*a} MENG, Yue-Zhong^b GAO, Chun-Mei^c ZHU, Guang-Ming^a

(^a College of Materials Science and Engineering, Shenzhen University and Shenzhen Key Laboratory of Special Functional Materials, Shenzhen 518060)

(^b Institute of Energy & Environment Materials, School of Physics & Engineering, Sun Yat-Sen University, Guangzhou 510275)

(^c Guangzhou Institute of Chemistry, Chinese Academy of Sciences, Guangzhou 510650)

Abstract Novel sulfonated poly(arylene ether) containing triphenyl moieties as polymer electrolytes for fuel cell application was successfully synthesized. The sulfonic acid function was only attached at the *para* positions on the pendant phenyl rings due to the novel sulfonated poly(arylene ether) structures designed. The sulfonated polymers are very soluble in common organic solvents, such as dimethyl sulfoxide, *N,N*-dimethylacetamide, and can be readily cast into tough and smooth films from solutions. The membrane exhibited very high hydrolytic stability (>7 d) and the polymer is a thermostable polymer with 5% weight loss temperature of about 362.3 °C. The membrane also shows excellent oxidative stabilities in Fenton's reagent (2 mg/L FeSO₄ in 3% H₂O₂).

Keywords sulfonation; sulfonated poly(arylene ether); proton exchange membrane; oxidative stability

质子交换膜燃料电池作为一种很有前途的能源技术,已越来越引起人们的关注。作为质子交换膜燃料电池的关键部件质子交换膜的研究,一直是人们研究的一个热点^[1~5]。目前,国际上通用的质子交换膜是杜邦公

司的Nafion膜,但它有一个致命的缺点,就是价格特别昂贵(600~800美金/平方米)。因此,世界主要发达国家和大公司都在致力于低成本的质子交换膜的研究。

聚芳醚是一种性能优良的工程塑料,具有优良的热

* E-mail: wangleid1977@yahoo.com.cn

Received November 23, 2006; revised May 25, 2007; accepted June 16, 2007.

广东省粤港关键领域重点突破重大招标项目(No. 2004A11004004)资助项目。

学性能、高的机械强度和良好的化学稳定性等优点. 对聚芳醚进行磺化来制备价格低廉的质子交换膜是人们研究的热点^[6-11]. 主要方法有两种: 一是对已有的聚合物进行磺化; 二是先对二氟单体进行磺化, 然后与双酚单体聚合, 制备磺化聚芳醚. 但是, 这些磺化的聚芳醚制备的质子交换膜装入燃料电池后, 膜材料只能运行较短的时间, 这可能是由于氧化和水解的共同作用. 通常, 当磺酸基在主链苯环上时, 由于磺酸基的影响, 聚合物易于在主链的醚键上发生降解.

本文从分子设计角度出发, 合成了一种双酚单体^[12], 通过聚合反应并最终制备了磺酸基在侧链上的质子交换膜. 由于特殊结构的设计, 制备的这种质子交换膜具有好的水解稳定性和高的氧化稳定性, 有望成为目前价格昂贵的 Nafion 膜的替代品.

1 实验部分

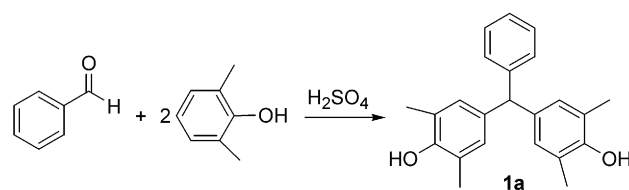
1.1 化学药品和试剂

苯甲醛, 2,6-二甲基苯酚从 Aldrich 公司购得, 未经纯化直接使用. 硫酸(98%)、甲醇、乙醇、石油醚、二甲亚砜(DMSO)、*N,N*-二甲基甲酰胺(DMF)、*N*-甲基吡咯烷酮(NMP)、浓盐酸、氢氧化钾为国产分析纯溶剂, 使用前未经处理. 甲苯使用前用钠丝干燥 24 h, *N,N*-二甲基乙酰胺(DMAc)使用前用 4 Å 的分子筛进行干燥过夜. 无水碳酸钾使用前在真空烘箱中 200 °C 下干燥 5 h.

1.2 单体合成

1.2.1 双酚单体 **1a** 的合成

按 Scheme 1 的步骤, 将 4.24 g (0.04 mol) 苯甲醛和 14.64 g (0.12 mol) 2,6-二甲基苯酚加入一个装有回流冷凝管的 50 mL 三口烧瓶中, 以 6 g (60%) 硫酸作催化剂, 并加入 20 mL 甲苯作溶剂. 氮气保护下, 恒温在 50~60 °C 搅拌回流 20 h. 冷却至室温, 用沙芯漏斗过滤, 并用少量的甲苯和水洗涤滤渣几次, 得到粉红色的固体. 用甲醇和水的混合溶剂重结晶两次, 得到了很纯的单体 8.49 g, 产率为 63.9%. M.p.: 159~160 °C, 核磁表征与质谱结果如下: ¹H NMR (CDCl₃, 400 MHz) δ: 2.178 (s, 12H), 3.821 (s, 2H), 5.292 (s, 1H), 6.709 (s, 4H),



图式 1 单体 **1a** 的合成

Scheme 1 Synthesis of monomer **1a**

7.093~7.284 (m, 5H); MS (70 eV) *m/z* (%): 39, 65, 77, 91, 127, 152, 165, 181, 255, 317 (100), 332 (M⁺).

1.2.2 1,4-二(4-氟苯甲酰基)苯 **1b** 的合成

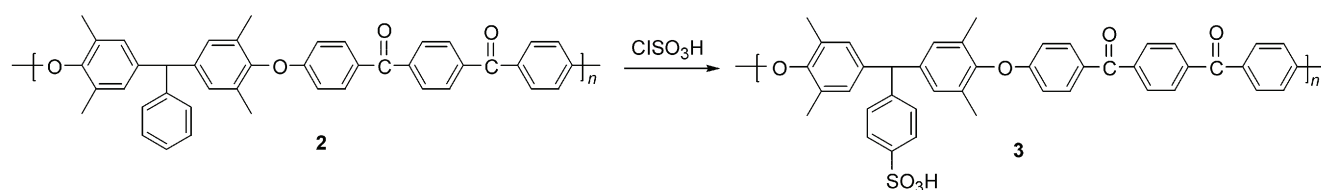
向 250 mL 的三颈烧瓶中加入对苯二甲酰氯 40.6 g (0.20 mol), 氟苯 192.0 g (2.00 mol) 机械搅拌下, 慢慢分批加入 AlCl₃ 66.22 g (0.496 mol), 保持室温. 然后升温到 75 °C 保持 4~5 h. 停止加热, 冷却到室温, 将其倒入大量的 HCl 水溶液中, 有白色的沉淀析出, 过滤, 得到白色的固体, 用甲苯(或者用邻二氯苯)重结晶得纯固体 41.3 g, 产率为 64.1%. ¹H NMR (DMSO-*d*₆, 400 MHz) δ: 7.15~7.24 (d, 4H), 7.81~7.91 (m, 8H); MS (70 eV) *m/z* (%): 50, 75, 95, 123 (100), 144, 170, 199, 227, 322 (M⁺).

1.3 含三个苯环的聚合物 **2** 的合成

将 1 mmol 双酚单体 **1a**, 1 mmol 活化二氟单体 **1b**, 1.5 mmol 无水碳酸钾, 5 mL 甲苯和 2.5 mL 的 DMAc, 加入三口烧瓶中. 氮气保护下, 升温到 140 °C, 磁力搅拌下保持 4 h, 蒸出其中的甲苯, 带出产生的水, 然后升温到 170 °C, 反应 4 h. 用 DMAc 稀释, 冷却到室温, 将其滴入加入少量 HCl 的甲醇中, 过滤, 干燥. 用氯仿溶解, 放置 6 h, 过滤, 浓缩, 滴入甲醇中, 过滤, 干燥, 得白色絮状固体 **2**, 产率为 92.4%. 核磁表征如下: ¹H NMR (DMSO-*d*₆, 400 MHz) δ: 2.08 (s, 12H, 4CH₃), 5.43 (s, 1H, CH), 6.82~6.86 (m, 5H, C₆H₅), 7.06~7.34 (m, 4H, 2C₆H₂), 7.75~7.82 (m, 8H, 2C₆H₄).

1.4 含三个苯环的磺化聚合物的合成

将 1 mmol 的聚合物 **2** 加入到 250 mL 的单口烧瓶中, 加入 100 mL 二氯甲烷使其溶解, 逐滴滴入 6 mL 氯磺酸 (1 mol/L) 的二氯甲烷溶液, 搅拌反应 5 h, 有棕色沉



图式 2 聚合物 **2** 的磺化

Scheme 2 Sulfonation of polymer **2**

淀生成, 倾出二氯甲烷, 用 10 mL 正己烷洗涤两次, 加入 10 mL DMSO, 搅拌 1~2 h 使其溶解, 加入 40 mL 3 wt% 的氢氧化钠溶液, 搅拌 6 h, 再加入 100 mL 10 wt% 的盐酸水溶液, 反应 5 h 以上, 渗析、蒸干。

$^1\text{H NMR}$ (DMSO- d_6 , 400 MHz) δ : 2.03 (s, 12H), 5.57 (s, 1H), 6.90 (d, $J=7.9$ Hz, 4H), 6.99 (s, 4H), 7.17 (d, $^3J=7.4$ Hz, 2H), 7.57 (d, $^3J=7.4$ Hz, 2H), 7.80~7.81 (m, 8H). Anal. calcd for $(\text{C}_{43}\text{H}_{34}\text{O}_7\text{S} \cdot 3\text{H}_2\text{O})_n$ (748.81) $_n$: C 68.91, H 5.34, S 4.27; found: C 68.79, H 5.47, S 4.15.

1.5 膜的制备

将 0.6 g 磺化聚合物溶于 10 mL 的 DMAc 溶液中, 过滤。滤液放置在表面皿中, 加热到 60 °C 蒸去部分溶剂, 待溶液变粘后, 倒到玻璃片上, 保持 60 °C 蒸干溶剂。冷却到室温后, 用刀片小心地将膜刮下, 放入 60 °C 的甲醇中浸泡 4 h 除去剩余的溶剂, 然后在 1 mol·L⁻¹ 盐酸中浸泡 24 h, 使其质子化。用去离子水冲洗几次并浸泡 6 h, 在真空烘箱中, 120 °C 下干燥 24 h, 待用。

1.6 性能表征

1.6.1 聚合物的本体粘度(η_{inh})

在 30 °C 下, 用乌式粘度计测得, 溶剂为 DMAc, 聚合物浓度为 0.5 g/dL。由一点法测定, 计算公式如下:

$$\eta_{\text{inh}} = (t - t_0) / Ct_0$$

单位为 dL/g, $C=0.5$ g/dL, t_0 为纯溶剂在乌式粘度计中的流出时间, t 为浓度为 0.5 g/dL 的聚合物溶液在乌式粘度计中的流出时间。

1.6.2 热稳定性测试

在 Seiko 热重/差热分析仪(TGA/DTA, 型号 SSC/5200)上进行热失重分析(TG), 样品在氮气氛中(200 mL/min)从室温加热到 180 °C 并恒温 20 min 以除去吸收的水分, 然后原位冷却至室温, 再升温扫描至 600 °C, 升温速率为 20 °C/min。

1.6.3 抗氧化性和抗水解性测试

膜的抗氧化性在 Fenton's 试剂中进行 (Fenton's 试剂为 3% 的过氧化氢和 2 mg/L 的 FeSO₄), 将 1 cm 长和 0.2 cm 宽的膜放入 80 °C Fenton's 试剂中, 看样品开始变碎的时间和彻底溶解的时间。膜的水解稳定性, 是通过将膜样条在沸水中煮沸, 测试变碎的时间来表征。

1.6.4 质子传导性能测试

采用二电极法, 将频响分析仪(Solartron1255B)与 1287 智能化恒电位仪相连接, 频率范围 1 Hz~1 MHz, 扰动交流电压 ± 5 mV。从交流阻抗谱图与 x 轴在高频端的截距可以读出膜的电阻 R (Ω), 根据膜的厚度 L (cm)

和面积 A (cm²) 计算出膜的电导率 σ (S/cm) ($R=L/\sigma A$)。

2 结果和讨论

2.1 磺化聚合物 3 的合成

本文从分子设计的角度出发, 设计合成了双酚单体 **1a**, 通过亲核取代合成了侧链上有甲基保护基的聚合物 **2**, 使制备的聚合物 **3** 的磺酸基接在侧链苯环上, 磺酸基对主链的影响小, 从而保证了质子交换膜的氧化稳定性和水解稳定性。在 DMAc 中测的黏度为 0.58 dL/g 且得到了光滑柔韧的膜, 表明合成了高分子量的聚合物。对比图 1 中的聚合物 **2** 和 **3** 的核磁共振谱图可以看出, **2** 中 f 位置的氢在 **3** 中消失了, **2** 中 g 位置的氢在 **3** 中向低场移动到 $\delta=7.56\sim 7.58$ 处, 证明磺化反应发生在侧链苯环上, 通过元素分析结果进一步证明, 磺化度为每个单元上一个磺酸基。反应过程中必须注意, 氯磺酸对水特别敏感, 少量的水可能消耗大量的氯磺酸, 从而使反应比例失调, 所以烧瓶必须彻底干燥, 溶剂氯仿或二氯甲烷在使用前用无水氯化钙干燥 24 h 以上。另外, 氯磺酸滴的要尽量慢, 因为如果氯磺酸滴的太快, 会使局部的聚合物磺化, 磺化聚合物不溶于氯仿或二氯甲烷, 马上析出, 同时包夹部分的未磺化的聚合物同时析出, 使磺化不完全。

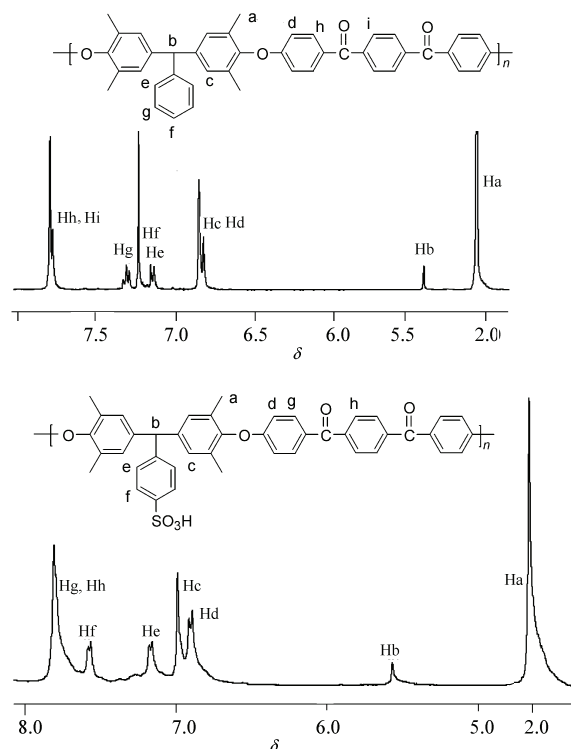


图 1 聚合物 **2** 和 **3** 的核磁
Figure 1 $^1\text{H NMR}$ spectra for polymers **2** and **3**

2.2 膜性能的表征

从图 2 可见, 未磺化的聚合物有更高的热稳定性, 5%的热失重为 453.1 °C, 而磺化的聚合物的 5%的热失重为 362.3 °C. 磺化聚合物有两个热失重峰, 第一个在 300 °C 开始, 到 420 °C 结束, 这主要是磺化聚合物的磺酸基的失重峰, 大约在 450 °C 左右出现第二个失重, 这主要是聚芳醚主链的失重.

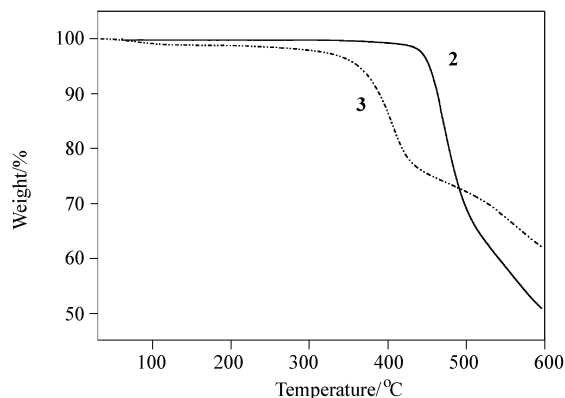


图 2 聚合物 2 和 3 的热失重曲线
Figure 2 TGA curves of polymers 2 and 3

抗氧化性测试在 80 °C 的 Fenton's 试剂中进行, 用聚合物 3 制备的膜在 69 min 时才开始变碎, 119 min 彻底溶解, 证明我们制备的膜具有高的氧化稳定性. 抗水解性能测试是把样品膜放入 100 °C 的水中, 7 d 后取出, 膜样品仍保持其原有的韧性和强度, 表明此种膜具有优异的水解稳定性.

用磺化聚合物 3 制备的质子交换膜具有较高的吸水性, 80 °C 下吸水性达到 36.9%. 但具有相对较低的质子

导电性, 在 80 °C, 100%的相对湿度下, 测得的膜的导电性为 4.3×10^{-3} S/cm, 略低于燃料电池质子交换膜所需要的要求(10^{-2} S/cm), 需进一步进行改性研究.

References

- 1 Steele, B. C. H.; Heinzel, A. *Nature* **2001**, *414*, 345.
- 2 Service, R. F. *Science* **2004**, *303*, 29.
- 3 Qing, S. B.; Huang, W.; Yan, D. Y. *Acta Chim. Sinica* **2005**, *63*, 677 (in Chinese).
(卿胜波, 黄卫, 颜德岳, 化学学报, **2005**, *63*, 677.)
- 4 Wang, L.; Meng, Y. Z.; Wang, S. J.; Shang, X. Y.; Li, L.; Hay, A. S. *Macromolecules* **2004**, *37*, 3151.
- 5 Kong, L. H.; Xiao, M.; Wang, L.; Meng, Y. Z. *Chem. J. Chin. Univ.* **2006**, *27*, 1141 (in Chinese).
(孔令环, 肖敏, 王雷, 孟跃中, 高等学校化学学报, **2006**, *27*, 1141.)
- 6 Zhong, S. L.; Liu, C. G.; Dou, Z. Y.; Li, X. F.; Zhao, C. J.; Fu, T. Z.; Na, H. *J. Membr. Sci.* **2006**, *285*, 404.
- 7 Wang, F.; Hickner, M.; Ji, Q.; Harrison, W.; Mechem, J.; Zawodzinski, T. A.; McGrath, J. E. *Macromol. Symp.* **2001**, *175*, 387.
- 8 Wang, L.; Meng, Y. Z.; Wang, S. J.; Hay, A. S. *J. Polym. Sci.: Part A: Polym. Chem.* **2004**, *42*, 1779.
- 9 Guang, R.; Dai, H.; Li, C. H. *J. Membr. Sci.* **2006**, *277*, 148.
- 10 Xing, P.; Robertson, G. P.; Guiver, M. D.; Mikhailenko, S. D.; Wang, K.; Kaliaguine, S. *J. Membr. Sci.* **2004**, *229*, 95.
- 11 Chen, Y. L.; Meng, Y. Z.; Hay, A. S. *Macromolecules* **2005**, *38*, 3564.
- 12 Ge, X. C.; Xu, Y.; Xiao, M.; Meng, Y. Z.; Hay, A. S. *Eur. Polym. J.* **2006**, *42*, 1206.

(A0611239 LU, Y. J.)